

ПЕТРОЛОГИЯ НА КАФЯВИТЕ ВЪГЛИЩА ОТ ПИРИНСКИЯ БАСЕЙН

Йордан Кортенски, Александър Здравков

Минно-геоложки университет “Св. Иван Рилски”, София 1700; jordan_kortenski@hotmail.com; alex_zdravkov@abv.bg

РЕЗЮМЕ. Въглищният пласт в Пиринския басейн е опробван в два разреза по цялата му дебелина и са взети още 10 пластови пробы. Въглищните аншиф-брикети са изследвани в отразена бяла и флуорисцентна светлина в маслена имерсия и е измерен показател на отражение на хуминита. Показателят на отражение на хуминита (средно 0,455%) определя въглищата като кафяви блестящи. Установено е, че мацералите от група Хуминит преобладават (от 81,8 до 91,4% на органична маса) и са представени от текстинит, улминит, атринит, денснит, гелинит и корполхуминит. Липоидните мацерали (споринит, кутинит, резинит, алгинит, суберинит, флуоринит, ексудатинит и липтодетринит) са в количество от 8,3 до 18,2%. Най-ниско е съдържанието на фюзенизириани мацерали (от 0,3 до 1,0%), като са представени предимно от фунгинит и по-малко фузинит и инертодетринит. Минералните примеси, определени микроскопски, са само глинисти минерали и пирит в малко количество – от 0,3 до 11,9%. В отделни пробы се наблюдава и марказит. Въглищата са изградени предимно от останки на висша широколистна растителност, при значително участие и на водораслови останки. Торфеното блато е било силно обводнено и средата е била слабокислителна.

PETROLOGY OF THE SUB-BITUMINOUS COAL FROM THE PIRIN BASIN, BULGARIA

Jordan Kortenski, Alexander Zdravkov

University of Mining and Geology “St. Ivan Rilski”, Sofia 1700; jordan_kortenski@hotmail.com; alex_zdravkov@abv.bg

ABSTRACT. The coal seam from the Pirin Basin has been sampled in two sections. In addition ten bulk samples have been also collected. Microscopical investigations using reflected and fluorescent light and reflectance measurements were processed. Based on the reflectance values (avg. 0.45%) the coal was defined as sub-bituminous C-B. Huminite group macerals (textinite, ulminite, atrinite, densinite, gelinite and corphohuminate) are dominant, composing 81.8 to 91.4 vol. % (mmf) of the coal. Liptinite macerals are represented by sporinite, cutinite, resinite, alginite, suberinate, fluorinite, exsudatinate and liptodetrinitate in amount from 8.3 to 18.2 vol.% (mmf). The macerals from Inertinite group in Pirin coal are presented in amounts below 1vol.%. The later are represented mainly by funginite. Rarely fusinite and inertodetrinitate can be observed. The mineral matter is composed predominantly of clay minerals. Low amounts of pyrite (0.3 to 11.9 vol.%) and marcasite were also established. The coal is mainly composed by remains from angiosperm vegetation. However, the significant amounts of algae indicate that the coal was deposited in an environment, characterized by high water level and weakly oxic conditions.

Въведение

Пиринският басейн се намира в Югозападна България. Той попада в границите на Пернишката въглищна провинция, в която въглеността е свързана с Палеогенската въглеобразувателна фаза. Петрографски изследвания на въглищата от Пиринския басейн са правени от Константинова (1964, 1972) и от Вълчева и Александров (1981). Описание на един профил на въглищния пласт в басейна по данни на Вълчева е приложено и от Ескенази и Чубриев (1984) при геохимичната характеристика на пиринските въглища.

Целта на настоящата работа е да актуализират петрографските изследвания, като чрез флуорисцентна микроскопия се допълнят данните за липоидните мацерали. Освен това при проведено опробване в 12 профила на въглищния пласт да се установи изменението на мацералния състав по площ и по разрез.

Геоложки особености

За подложка на въгленосните къснопалеогенски седименти служат докамбрийски гнейси, шисти,

гнейсошисти, мигматити амфиболити, лептинити, и мрамори, както и интрузивни и вулкански скали (гранити, франодиорити, кварцмонционити, феноандезити, фенодакити) с кредна и палеогенска възраст. Въгленосните наслаги са поделени на: Логодашка свита. Изградена е от пясъчници и глинисти пясъчници, сред които се вклиняват дебели пластове от олигомиктови брекчи и брекчоконгломерати (с гнейсови и мигматитови късове). Дебелината на свитата надхвърля 700-800 м. Възрастта ѝ е определена като късно-еоценска. Качовска свита. Изградена е от пясъчници, прослоени в долната част от конгломерати, а в горната част от алевролити. Дебелината ѝ е около 370 м. Възрастта на свитата е среден олигоцен (Маринова, Загорчев, 1993). Горещишка свита. Лежи над Качовската свита и започва с пъсъчливи въглищни аргилити и Брежанския въглищен пласт. Установен е един основен въглищен пласт с дебелина от 0,5 до 34 м, като се откриват до 3 пласта-спътници с малка дебелина и ограничено плоенно разпространение. Върху въглищния пласт залагат битумолити с дебелина до 29 м. Над тях следват алевролити, аргилити, пъсъчници. Общата дебелина е около 100 м (Маринова и Загорчев, 1993). Покрива се съгласно от Ракитнишката свита. Възрастта на свитата се определя на среден-късен

олигоцен (Чернявска, 1970). *Ракитнишка свита*. Изградена е главно от пясъчници, сред които се прослойват конгломерати и песъчливо-глиниести алевролити. Дебелината ѝ е около 400 м. Възрастта ѝ е среден-късен олигоцен (Маринова, Загорчев, 1993). *Лулееска свита*. Изградена е от битумолити, пясъчници, алевролити, песъчливи аргилити и кафяви въглища и представлява второ битуминозно и въгленосно ниво. Възрастта ѝ е късноооценска, а дебелината 100-150 м (Вацев, 1984). Кватернерните образувания са представени от пролувиални и алувиални седименти, последните имащи значително развитие по долините на р. Струма и останалите реки в района. Те са изградени от дребнокъсови полигенни чакъли, дребно- до грубозърнести пясъци и глиниести пясъци. Дебелината им в долината на р. Струма достига до 15-20 м (Маринова, Загорчев, 1993). Въгленосните седименти на Пиринския въглищен басейн запълват грабенова структура – Брежанския грабен. Той е ориентиран в ССЗ-ЮЮИ посока. Образуван е в резултат на блокови движения, които са твърде интензивни през средния олигоцен. В резултат на тези движения в рамките на Струмския разломен сноп се образува Брежанския грабен.

Материал и методика

Въглищният пласт е опробван в два разреза по цялата му дебелина и са взети още 10 пластови пробы. Общият брой на изследваните пробы е 31. За изследване на петрографския състав въглищата са смлени до 1 mm, споени с епоксидна смола и полириани. Така изработените аншлиф-брекети са изследвани в отразена бяла и флуорисцентна светлина в маслена имерсия на микроскоп NU-2, снабден с приставка за флуорисцентна микроскопия. Мацералният анализ е извършен по т.н. "two-scan" метод (Taylor et al., 1998), съобразно изискванията на ISO-7404-3. Използвано е автоматично бояично устройство тип Eltinor 4, за да се определи процентното съдържание на мацералите и минералите, като във всяка проба са снемани отчети от минимум 600 точки. На микроскоп Leica DMRX с микрофотометър MPV-SP, при дължина на вълната 546 nm, маслена имерсия ($n_d=1.515$), обектив 50x/0.85 и еталон Gadolinium-Gallium-Garnet ($R=0.899$) съгласно стандарта (ISO-7404-5) е измерена отражателната способност на витринита (хуминита) в 100 точки във всеки шлиф.

Резултати и дискусия

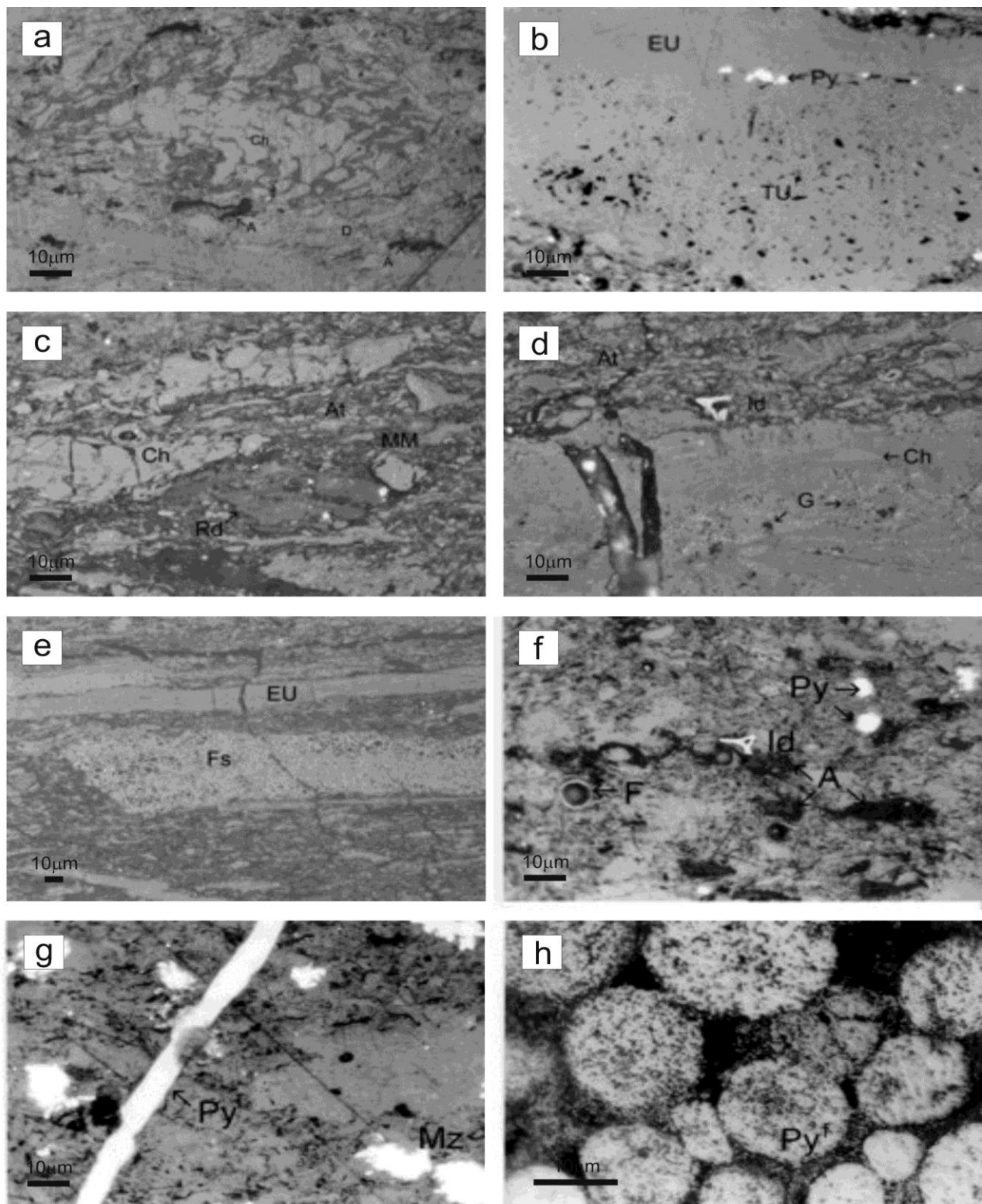
Във въглищата от Пиринския басейн е измерен показател на отражението от 0,35 до 0,63%. Средната отражателна способност в отделните пробы варира от 0,419 до 0,52 (средно 0,455%). Тези стойности определят въглищата като такива с нисък ранг. Част от замерванията на отражението се доближават до граничната стойност на въглища със среден ранг – 0,6%, като известен минимален процент (до 5%) от тях дори са с по-високи стойности.

В пиринските въглища преобладават гелифицираните мацерали, а присъствието на инертинитови мацерали е незначително.

Група Хуминит. Мацералите от тази група са със съдържание от 81,8 до 91,4% на органична маса (табл. 1).

Текстинитът е установен само в половината от шлифите, като количеството му е до 1% (табл. 1). За него са характерни лещообразни тела, най-вероятно останки от корени на висши растения. Често клетъчните отвори са запълнени с корпохуминит (флобафинит) (Фиг. 1a). Съдържанието на мацералния тип еу-улминит е по-високо от това на текстоулмината. Количеството на текстоулмината се променя в по-тесен интервал – от 0,6 до 12,4% и част от пробите е много малко, докато това на еу-улмината варира от 10,1 до 44,7% (табл. 1). И двата мацерални типа на улмината се наблюдават под формата на издържани ивици с различна дебелина (Фиг. 1b) или като лещи сред хумодетрината (Фиг. 1e). Клетъчните им отвори много рядко са запълнени с резинит. Мацералите от подгрупа Хумодетринит са с най-високо съдържание, в част от пробите надвишаващо сумарното количество на всички останали мацерали (табл. 1). Количеството им варира от 35,6 до 69,5 % (табл. 1). Атринът асоциира предимно с минералното вещество (Фиг. 1c, d) и с детритус от липоидни и инертинитови мацерали в отделни прослойки. Съдържанието на денсинит рязко преобладава особено в прослойки с по-малко минерално вещество (Фиг. 1a, f, g). Гелинитът не се установява единствено в три от изследваните прости, като в останалите съдържанието му варира от 0,3 до 11,3% (табл. 1). Преобладаващ мацерален тип е поригелинитът, запълващ клетъчни отвори в текстинит и текстоулминит (Фиг. 1d). Количеството на корпохумината варира в широки граници – от 1,3 до 13,7% (табл. 1). Наблюдавани са и двата му мацерални типа – флобафинит и псевдофлобафинит. Флобафинитът е отложен предимно в клетъчните отвори на текстинит (Фиг. 1c, d) и текстоулминит.

Група Липтинит. Съдържанието на липоидни мацерали като цяло не е много високо и варира от 5,0 до 18,2% като преобладават липодетринитът, алгинитът и на места споринитът (табл. 1). Съдържанието на споринит варира от 0,3 до 5,1% (табл. 1). Наблюдава се само микроспоринит, който е добре запазен. Споринитът се среща като единични тела (Фиг. 2a) и по-рядко образува струпвания от поспойно разположени микроспори. Често асоциира с алгинит (Фиг. 1a). Количеството на кутината е от 0,3 до 4,7% като в част от пробите не се установява (табл. 1). Кутинът е често разкъсан, но понякога се наблюдава и добре запазен (Фиг. 2b). Асоциира с най-често с еу-улминит, който изгражда листни тъкани. Съдържанието на резинит е незначително. Установява се в единични прости с количество от 0,3 до 1% (табл. 1). Резинитът запълва клетъчни отвори на улминит (Фиг. 2d). Рядко се среща и детритен резинит, разпръснат сред основната маса (Фиг. 1c). Алгинитът е един от главните липоидни мацерали в пиринските въглища. Количеството му достига до 4,6% (табл. 1). Наблюдава се като единични малки тела (Фиг. 1a, f; 2a, b, f) или струпвания. Алгинитът често асоциира със споринит (Фиг. 2a), кутинит (Фиг. 2b) или флуоринит. Съдържанието на флуоринит е минимално. Установен е само в част от пробите, като количеството му е от 0,3 до 2% (табл. 1). Образува лещообразни струпвания в денсината (Фиг. 2c). Ексудатинът не се установява във всички прости. Съдържанието му варира от 0,3 до 1,8% (табл. 1). Наблюдава се предимно в клетъчните отвори на

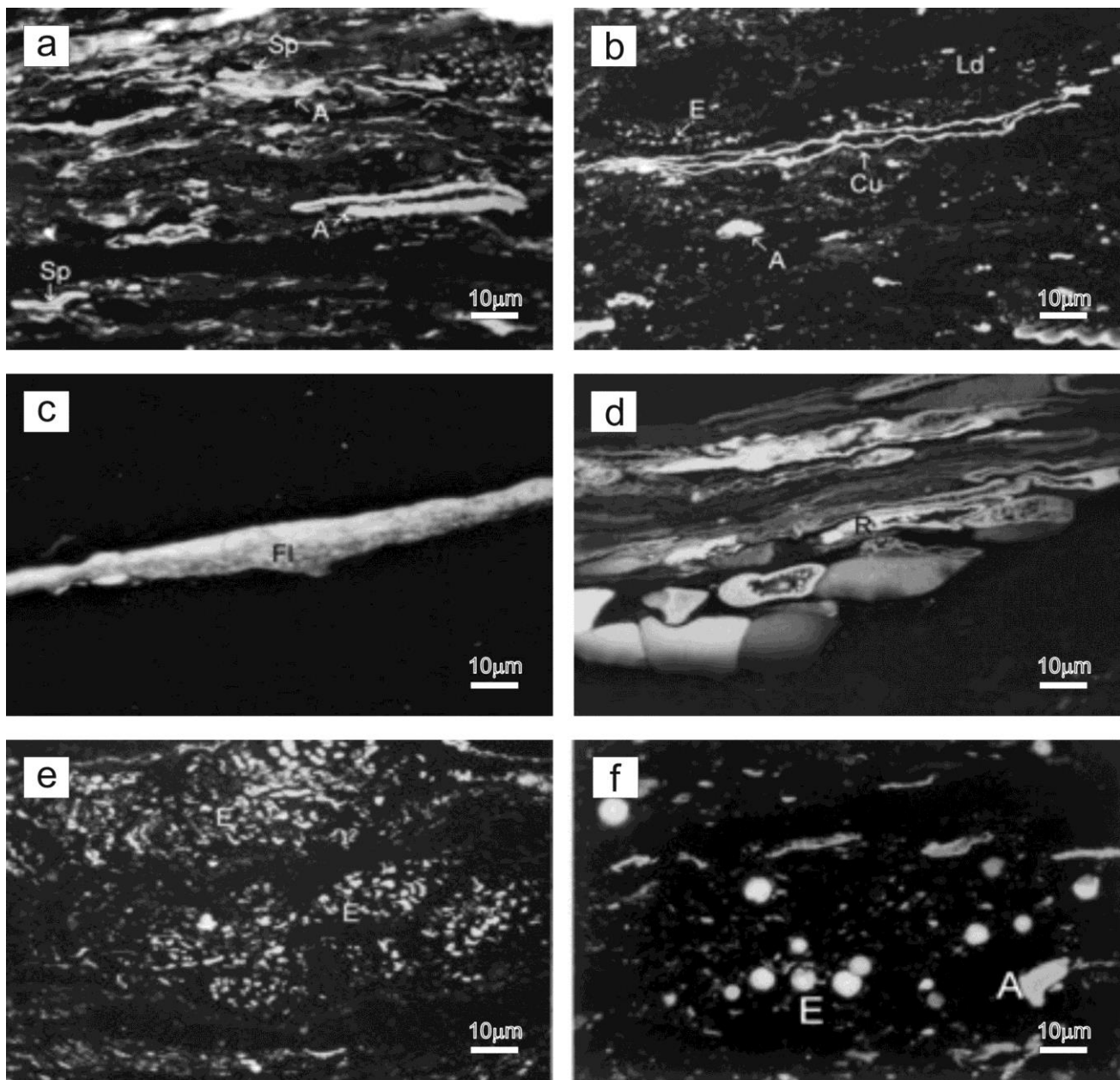


Фиг. 1. Мацерали и минерали във въглищата от Пиринския басейн (отразена светлина, маслена имерсия): а – текстинит (T), корпохуминит (Ch), алгинит (A); б – тексто-улминит (TU), еулминит (EU); с – атринит (At), минерални примеси (MM) корпохуминит (Ch), детритен резинит (Rd); д – корпохуминит (Ch) и поригелинит (G), запълващи клетъчни отвори в тексто-улминит, атринит (At), инертодетринит (Id); е – фузинит (Fs), еулминит (EU); ф – инертодетринит (Id), алгинит (A), фунгинит (F), фрамбоидален пирит (Py); г – инфилтратационен пирит (Py[†]), марказит (Mz); х – фрамбоидален пирит (Py[†])

Таблица 1
Материален състав на въглищата от Пиринския басейн

Проба	T	TU	EU	Ch	G	Hd	HUM	Sp	Cu	R	Al	Fl	Sb	E	Ld	LIPT	Id	F	Fs	Inert	MM	
1554	2,0	5,7	41,3	4,7	2,3	36,3	91,3	1,7	2,7	0,0	0,0	0,3	0,7	0,0	2,3	7,7	0,0	1,0	0,0	1,0	3,0	
1561	0,3	3,0	21,3	4,3	5,7	50,9	85,5	1,0	3,3	0,0	0,7	2,0	0,0	0,0	8,0	15,0	0,0	0,0	0,0	0,0	3,0	
1563	0,7	2,3	21,3	9,0	5,0	53,3	91,6	1,7	2,0	0,0	0,0	0,0	0,0	0,0	4,7	8,4	0,0	0,0	0,0	0,0	8,3	
1569	1,0	2,0	18,2	3,7	11,3	52,7	83,9	2,3	1,0	0,0	0,7	0,7	0,0	0,0	4,7	9,4	0,0	1,7	0,0	1,7	5,0	
1571	3,3	1,0	19,0	8,0	4,0	51,3	86,7	2,3	1,3	0,3	0,7	1,7	0,0	0,0	6,0	12,3	0,3	0,7	0,0	1,0	2,7	
1572	1,0	1,7	15,3	8,6	3,3	58,0	87,9	1,3	1,0	0,3	1,3	0,0	0,0	0,0	5,3	10,5	0,3	1,0	0,3	1,6	3,3	
1573	1,7	2,3	20,7	6,7	7,7	48,3	87,4	2,0	2,3	0,3	1,7	0,0	0,0	0,0	4,0	10,6	0,0	2,0	0,0	2,0	2,3	
1576	0,0	1,7	16,2	8,7	3,3	58,0	87,9	1,3	1,0	0,3	1,3	0,0	0,0	0,0	5,3	10,5	0,3	1,0	0,3	1,6	3,3	
1580	0,0	1,0	34,0	7,0	3,3	45,7	92,0	1,3	1,0	0,0	0,0	0,0	0,0	0,0	5,0	7,3	0,0	0,7	0,0	0,7	2,3	
1581	1,7	1,7	44,7	7,3	2,3	35,6	94,3	0,7	1,0	0,0	0,3	0,0	0,0	0,0	2,0	5,0	0,0	0,7	0,0	0,7	3,3	
1582	0,0	0,7	34,0	3,7	5,0	46,9	89,4	1,3	2,3	0,0	1,7	0,3	0,0	0,0	5,0	10,6	0,0	0,0	0,0	0,0	0,7	
Средно за																9,75					0,95	
1584	0,3	2,0	23,7	11,0	2,7	55,3	93,0	2,7	1,3	0,0	0,0	0,0	0,0	0,0	0,0	0,0	7,0	0,0	0,0	0,0	0,7	
1585	1,7	4,0	32,7	6,0	2,0	45,6	92,0	0,3	1,7	0,3	0,0	0,0	0,0	0,0	0,0	4,7	7,3	0,0	0,7	0,0	0,7	0,7
1586	1,0	0,7	12,9	5,7	1,3	61,7	83,3	2,0	4,7	0,0	0,7	0,0	0,0	0,0	0,3	5,3	13,0	0,0	3,7	0,0	3,7	0,7
1587	1,0	2,7	33,0	11,7	4,7	48,3	91,4	3,3	0,0	0,0	0,0	0,0	0,0	0,0	0,0	4,3	7,6	0,0	1,0	0,0	1,0	1,0
1588	1,3	1,7	38,3	8,3	2,3	40,5	92,4	1,7	3,0	1,3	0,0	0,0	0,0	0,0	0,0	1,7	7,3	0,0	0,3	0,0	0,3	6,7
1589	0,3	1,7	34,3	6,7	3,3	44,0	90,3	2,0	1,7	0,0	0,0	0,0	0,0	0,0	0,0	4,0	7,7	0,0	2,0	0,0	2,0	0,7
1590	0,0	1,7	25,7	9,0	4,0	52,7	93,0	0,3	0,7	0,0	0,7	0,0	0,0	0,0	0,0	4,0	6,7	0,0	0,3	0,0	0,3	5,0
1591	0,0	1,3	18,0	13,7	3,0	54,7	90,7	2,0	3,0	0,0	0,0	0,0	0,0	0,0	0,0	3,3	8,3	0,0	1,0	0,0	1,0	5,7
1592	0,0	1,7	24,7	6,3	5,0	53,9	88,3	1,3	0,7	0,0	0,3	1,0	0,0	0,0	0,0	5,7	9,0	0,0	2,7	0,0	2,7	10,3
1594	0,3	2,3	26,3	8,3	2,7	51,4	91,3	0,7	1,3	0,0	1,7	0,0	0,0	0,0	0,0	3,7	7,4	0,0	1,3	0,0	1,3	0,7
Средно за																8,13					1,3	3,22
Pr1	0,0	1,9	10,1	9,1	0,6	66,2	87,9	2,8	0,0	0,3	2,8	0,0	0,0	0,0	0,3	5,9	12,1	0,0	0,0	0,0	0,0	3,3
Pr2	0,0	0,6	12,8	8,5	0,0	69,5	91,4	2,0	0,7	0,0	2,3	0,0	0,0	0,0	0,0	3,3	8,3	0,0	0,3	0,0	0,3	2,8
Pr3	0,0	7,9	17,4	2,0	0,0	60,7	87,9	2,8	0,0	0,0	3,1	0,0	0,0	0,0	0,0	5,2	11,1	0,0	1,0	0,0	1,0	7,7
Pr4	0,3	7,7	27,4	6,0	0,7	48,5	90,6	1,0	0,0	0,0	4,0	0,0	0,0	0,0	0,0	3,7	8,8	0,0	0,7	0,0	0,7	6,1
Pr5	0,0	8,6	21,4	1,3	0,0	56,5	87,9	3,0	0,0	0,0	3,0	0,0	0,0	0,0	1,0	5,3	12,1	0,0	0,0	0,0	0,0	6,3
Pr6	0,0	12,4	20,6	3,2	1,0	48,8	85,8	4,1	0,3	0,4	4,4	0,0	0,0	0,0	0,3	4,7	13,8	0,0	0,3	0,0	0,3	6,8
Pr7	1,0	10,0	18,0	2,6	0,3	49,9	81,8	5,1	0,4	0,0	4,0	0,4	0,0	1,1	7,3	18,2	0,0	0,0	0,0	0,0	11,9	
Pr8	0,3	9,1	18,1	1,7	1,0	55,7	85,9	3,2	0,4	0,0	3,2	0,7	0,0	1,8	3,9	13,1	0,3	0,7	0,0	1,0	8,4	
Pr9	0,3	7,8	25,2	2,6	1,3	47,6	84,8	3,2	0,4	0,0	4,6	0,0	0,0	0,0	0,7	6,4	15,2	0,0	0,0	0,0	0,0	6,1
Pr10	0,3	7,7	20,0	6,2	2,2	49,5	85,8	4,0	0,0	4,0	0,0	0,0	0,0	0,0	0,7	5,0	13,6	0,0	0,6	0,0	0,6	0,3
Средно																87,44					0,51	5,52

Нит – гр. Хуминит; Т – текститнат; TU – текстуулминит; EU – егулминит; Ch – коргохуминит; G – гелинит; Hd – химодетринит; Lipt – гр. Лицитит; Sp – споринит; Cu – куприт; R – резинит; Sb – суберинит; Al – алгинит; Fl – флуоринит; E – ексудатит; Ld – липтодетринит; Id – инертодетринит; Fs – семифузинит; Inert – гр. Инертинит; F – фунгинит; MM – минерално вещество.



Фиг. 2. Липоидни мацерали във въглищата от Пиринския басейн (флуорисцентна светлина, маслена имерсия): а – микроспоринит (Sp), алгинит (A); б – кутинит (Cu), алгинит (A), ексудатинит (E) в клетъчните отвори на тексто-улминит, липтодетринит (Ld); с – флуоропротин (Fl); д – резинит (R) в клетъчните отвори на тексоулминит; е – ексудатинит (E) в клетъчни отвори на текстоулминит; ф – ексудатинит (E) в камерите на фунгинит

текстоулминит или на фунгинит (Фиг. 2e, f). Суберинит е установен само в една от изследваните преби, като се наблюдава под формата на издържана ивица, асоциираща с еу-улминит. Липтодетринитът (Фиг. 2b) се установява неравномерно разположен в атринита и денсинита. Той е най-често срещания липоиден мацерал и количеството му варира от 2 до 8% (табл. 1). Асоциира с останалите липоидни мацерали, най-често с алгинит и споринит.

Група Инертинит. Присъствието на мацералите от тази група е символично, тъй като съдържанието им е ниско – от 0,3 до 3,7% (табл. 1). Фунгинитът присъства като единични тела, като в част от изследваните преби съдържанието му е от 0,3 до 3,7% (табл. 1). Установяват се тъкани на гъби (мицели, плектенхим) (Фиг. 2c) и едно- и многокамерни спори на гъби по ICCP (2001) (Фиг. 1c). Често телата са пиритизирани (Фиг. 1f), а в камерите е отложен ексудатинит (Фиг. 2f). Инертодетринитът се наблюдава като единични късчета (Фиг. 1d, f) в денсинита, като само в отделни преби и то предимно по разреза на пласта количеството му е 0,3% (табл. 1). Фузинит (Фиг. 1e) е установен в 2 преби по разрез А на пласта, в които съдържанието му е 0,3% (табл. 1). Наблюдавани са единични лещи с малки размери.

Минерални примеси. Представени са предимно от фрамбоидален (Фиг. 1f, h) и евхедрален (Фиг. 1b) пирит и глинисти минерали (Фиг. 1c). По-рядко се наблюдава инфильтрационен пирит (Фиг. 1g), запълващ пукнатини във органичната маса. В част от пребите се наблюдават и дендритовидни марказитови агрегати (Фиг. 1g). Количеството им във въглищата не е голямо и е разпределено почти равномерно по разреза и по площта на пласта.

Разпределението на мацералите по разреза на пласта и в двата опробвани профила е почти равномерно. Прави впечатление повишеното съдържание на алгинит в долната част на пласта и в двата профила (табл. 1), което явно е резултат от постепенното заблатяване на водния басейн. Торфеното блато и било силно обводнено в следствие на което термичната деструкция на материала е била минимална, за което свидетелства ниското съдържание на инертинитови мацерали. Съдържанието на отделните мацерални групи е почти равномерно по площ в опробвания участък, като само в една точка (пр. 7), количеството на липоидните мацерали (главно споринит и липтодетринит) е по-високо за сметка на гелифицираните мацерали (табл. 1).

Заключение

В пирийските въглища преобладават гелифицирани мацерали, като количеството им варира в тесни граници

като по разреза, така и по площта на въглищния пласт. Съдържанието на липоидни мацерали като цяло не е много високо. В долната част на пласта съдържанието на алгинит е повишеното и в двата профила което явно е резултат от постепенното заблатяване на водния басейн. Петрографските особености на изследваните въглища и по-специално липсата на импрегнирани със смоли тъкани указват за преобладание на широколистна растителност в палеоблатото. Това заключение се потвърждава и от палеоботаничните изследвания на тези въглища (Паламарев, 1963). Торфеното блато и било силно обводнено, в следствие на което термичната деструкция на материала е била минимална. Обстановката на седиментация по време на торфогенезата е била спокойна и в торфеното блато е постъпвало не-голямо количество теригенен материал.

Литература

- Вацев, М. 1984. Литостратиграфия на палеогенските седименти от Брежанския грабен. – В: Проблеми на геологията на югозападна България. С., Техника, 36-42.
- Вълчева, С., П. Александров. 1981. Петрологична характеристика на въглищата от Пиринския басейн. – Год. СУ, ГГФ, 71, 1, 289-302.
- Ескенази, Гр., З. Чубриев. 1984. Елементы-примеси в углях месторождения Пирин. – Сп. Бълг. геол. д-во, 1, 56-72.
- Константинова, В. 1964. Петрогонетическа характеристика на старотерциерните въглищни басейни в Югозападна България. – Изв. НИГИ, 1, 317-328.
- Константинова, В. 1972. Приложение на диференциално-термичния анализ при определяне степента на овъгливане и на петрографския състав на кафявите въглища у нас. – Год. Гл. упр. геология, 16, 338-350.
- Маринова, Р. 1993. Обяснителна записка към геоложката карта на България. М 1:100000, Картаен лист Благоевград, С., 68 с.
- Маринова, Р., И. Загорчев. 1993. Геоложка карта на България М 1:100000. Картаен лист Разлог. Обяснителна записка. С., 62 с.
- Паламарев, Ем. 1963. Фосилната флора на Пиринския въгленосен терциер. – Изв. бот. инст. БАН, 11, 69-101.
- Чернявска, С. 1970. Спорополенови зони в някои старотерциерни въгленосни седименти в България. – Изв. ГИ, Сер. Страт. и литол., 19, 79-100.
- ICCP. 2001. The new inertinite classification (ICCP System 1994). – Fuel, 80, 459-471.
- Taylor, G. H., M. Teichmüller, A. Davis, C. F. K. Diessel, K. Little, P. Robert. 1998. *Organic Petrology*. Gebrüder Borntraeger, Berlin-Stuttgart, 704 p.